

第31回理論懇シンポジウム 2018.12.19

矮小橈円銀河のガンマ線観測に基づく 暗黒物質探査における空間構造の効果

広島 濂(東大ICRR／KEK)

Nagisa Hiroshima, Masaaki Hayashida,
and Kazunori Kohri, in prep

Contents

1.Motivation

2.Strategy

3.Feasibility

4.Conclusion

Motivation

DM: evidence & candidates

- structure formation
- rotation curves
- bullet clusters
-

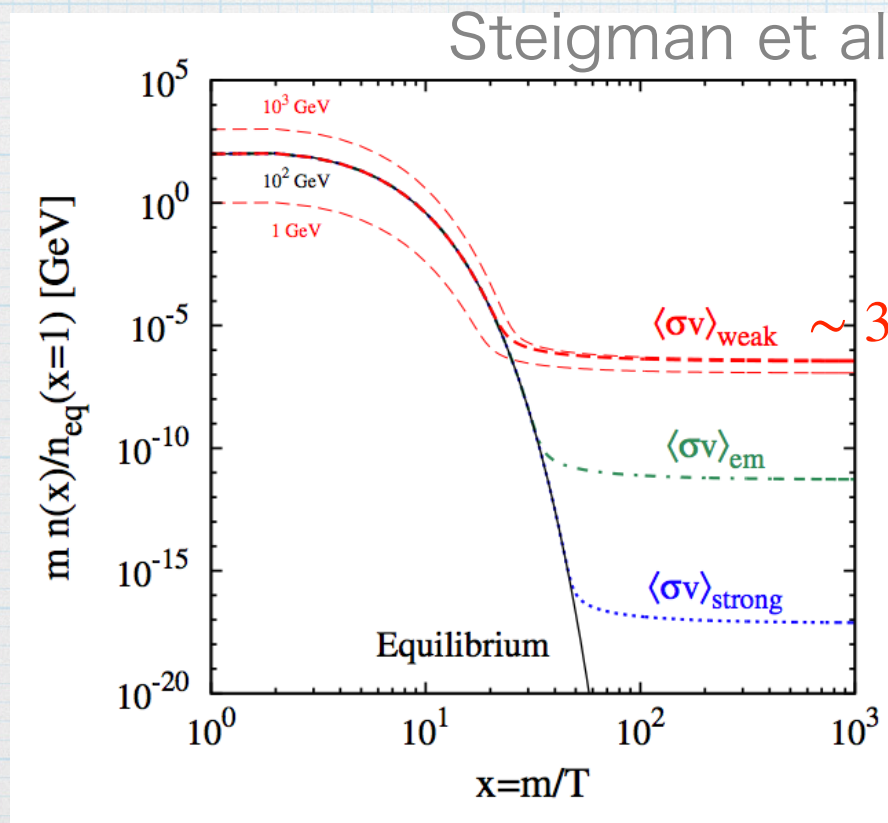
- WIMP
- SIMP
- axion, ALP
- sterile neutrino
- PBH

.....

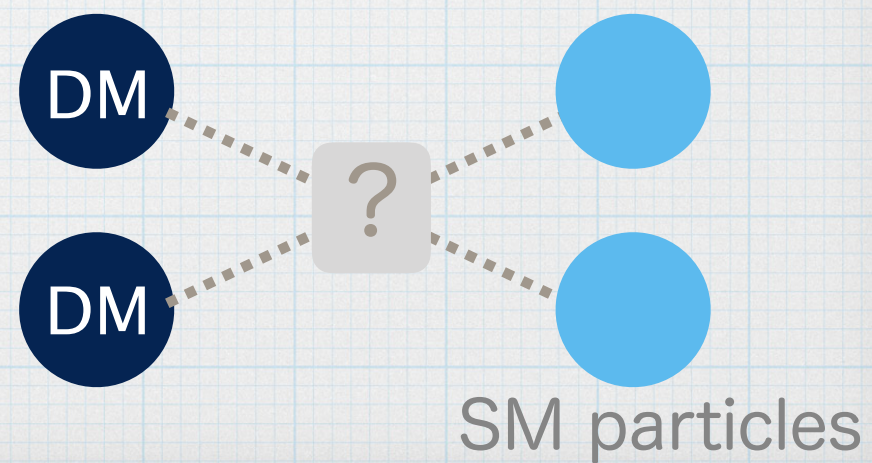
証拠はいろいろあるが未だ正体不明

Weakly Interacting Massive Particle (WIMP)

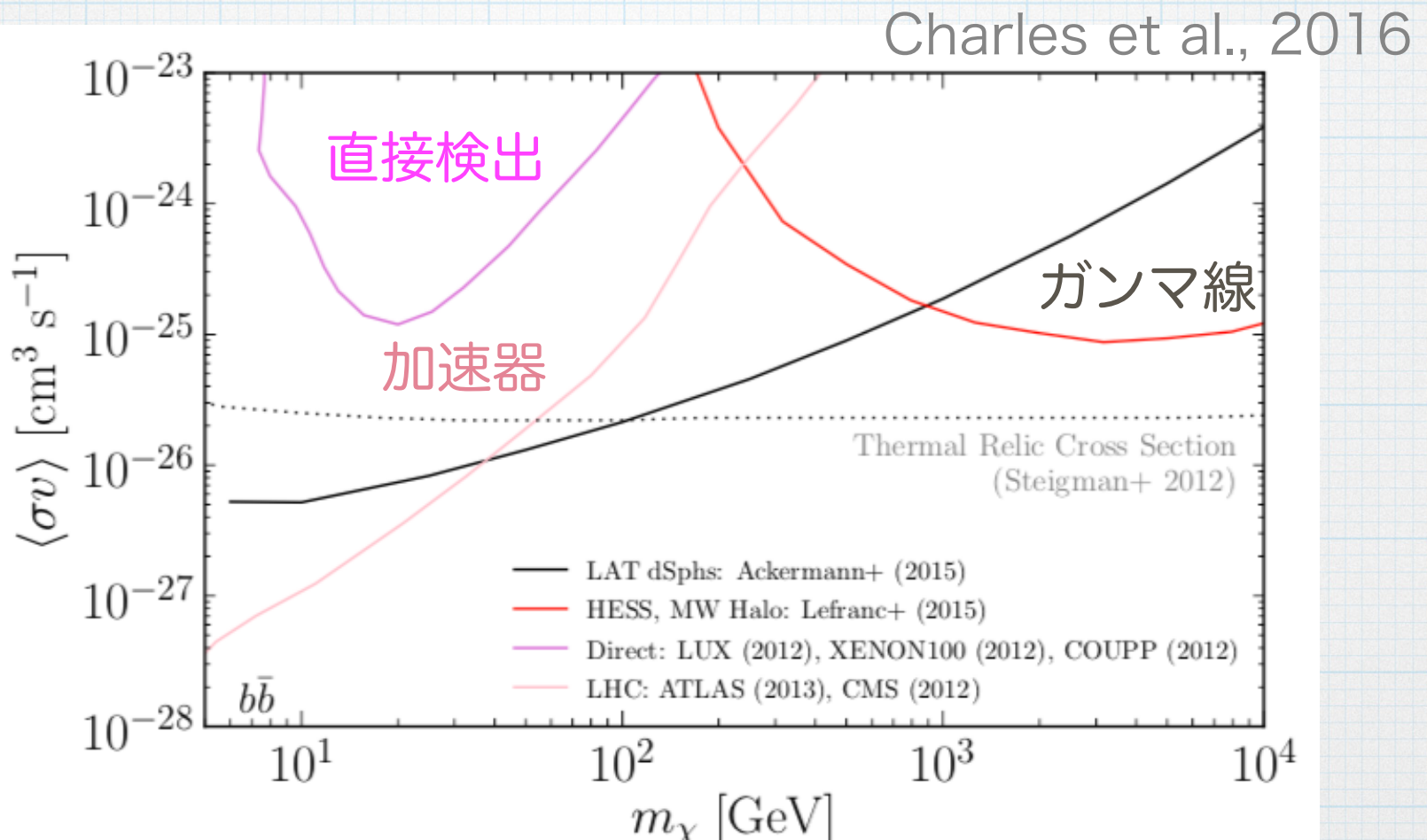
- ・質量 $m_{\text{DM}} \sim \mathcal{O}(1)\text{GeV} - \mathcal{O}(1)\text{TeV}$
- ・thermal freeze-out で現在のDM量を実現



$$\frac{dn}{dt} + 3Hn = \langle\sigma v\rangle (n_{\text{eq}}^2 - n^2)$$

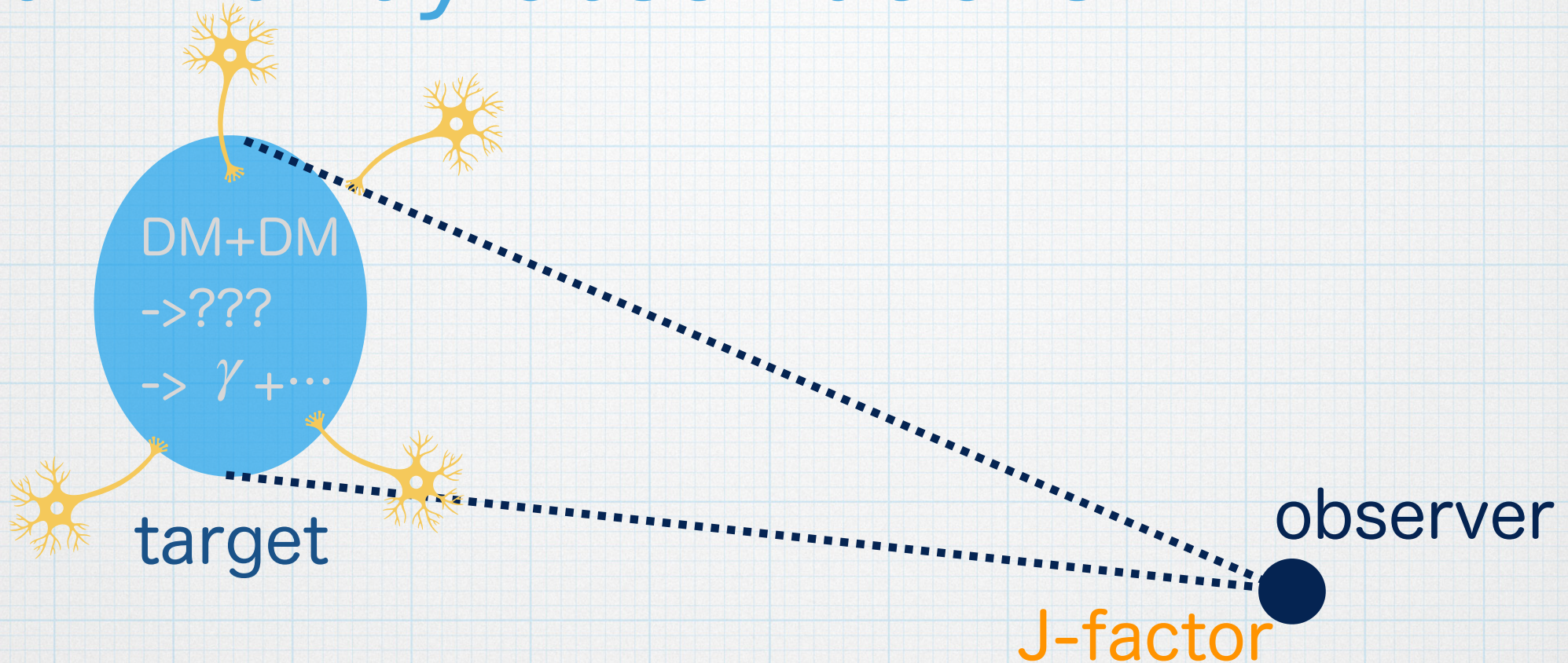


Current Limits



100GeV以上の制限はガンマ線観測から

Gamma-ray observations



$$\phi = \frac{1}{4\pi} \frac{\langle \sigma v \rangle}{2m_{\text{DM}}^2} \int_{E_{\text{th}}}^{m_{\text{DM}}} dE \frac{dN_{\gamma}}{dE} \cdot \boxed{\int d\Omega \int ds \rho_{\text{DM}}^2}$$

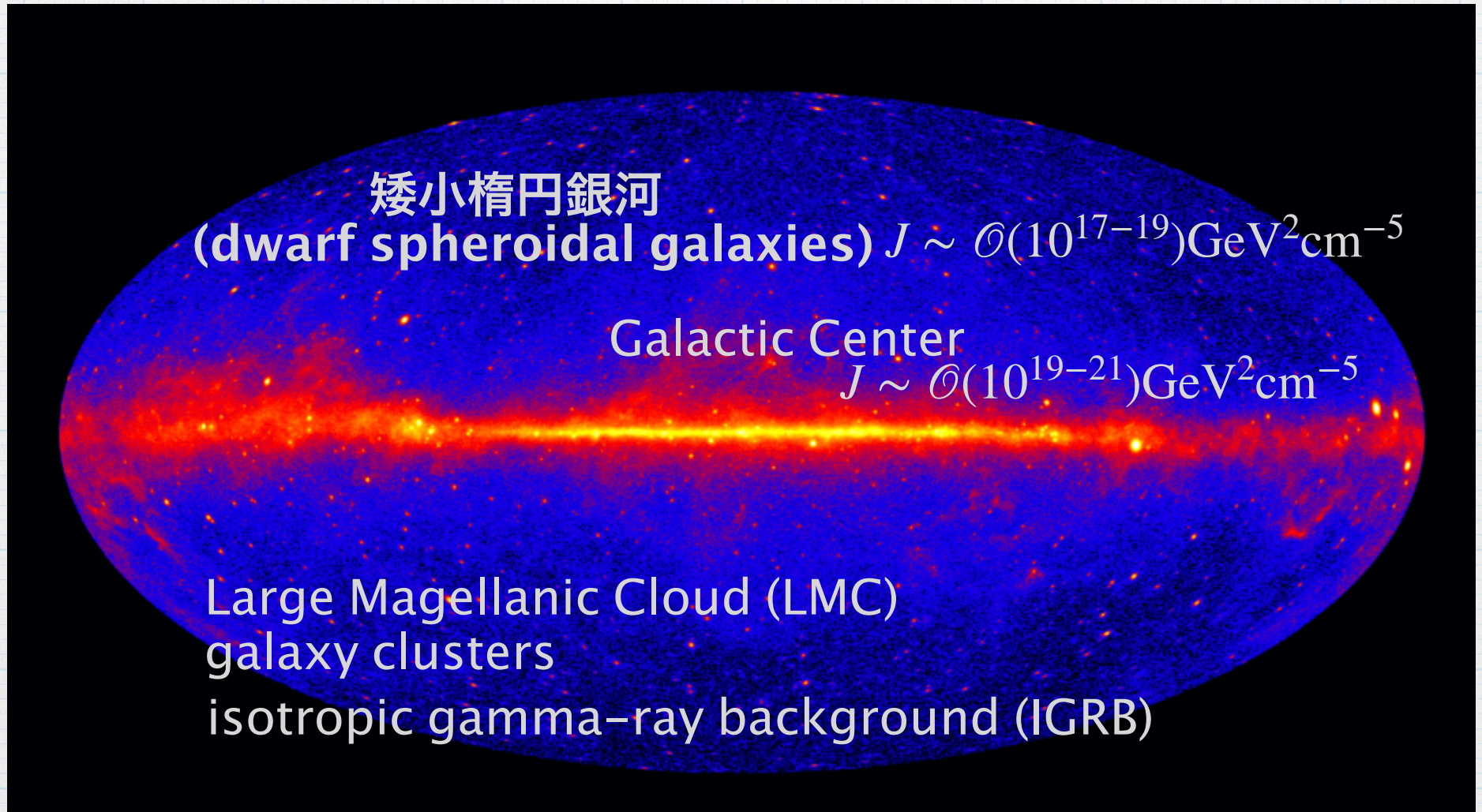
DMの”濃い”ところを見るのが得

Strategy

Targets

Fermi-LAT, 5yr, $E_\gamma > 1 \text{ GeV}$

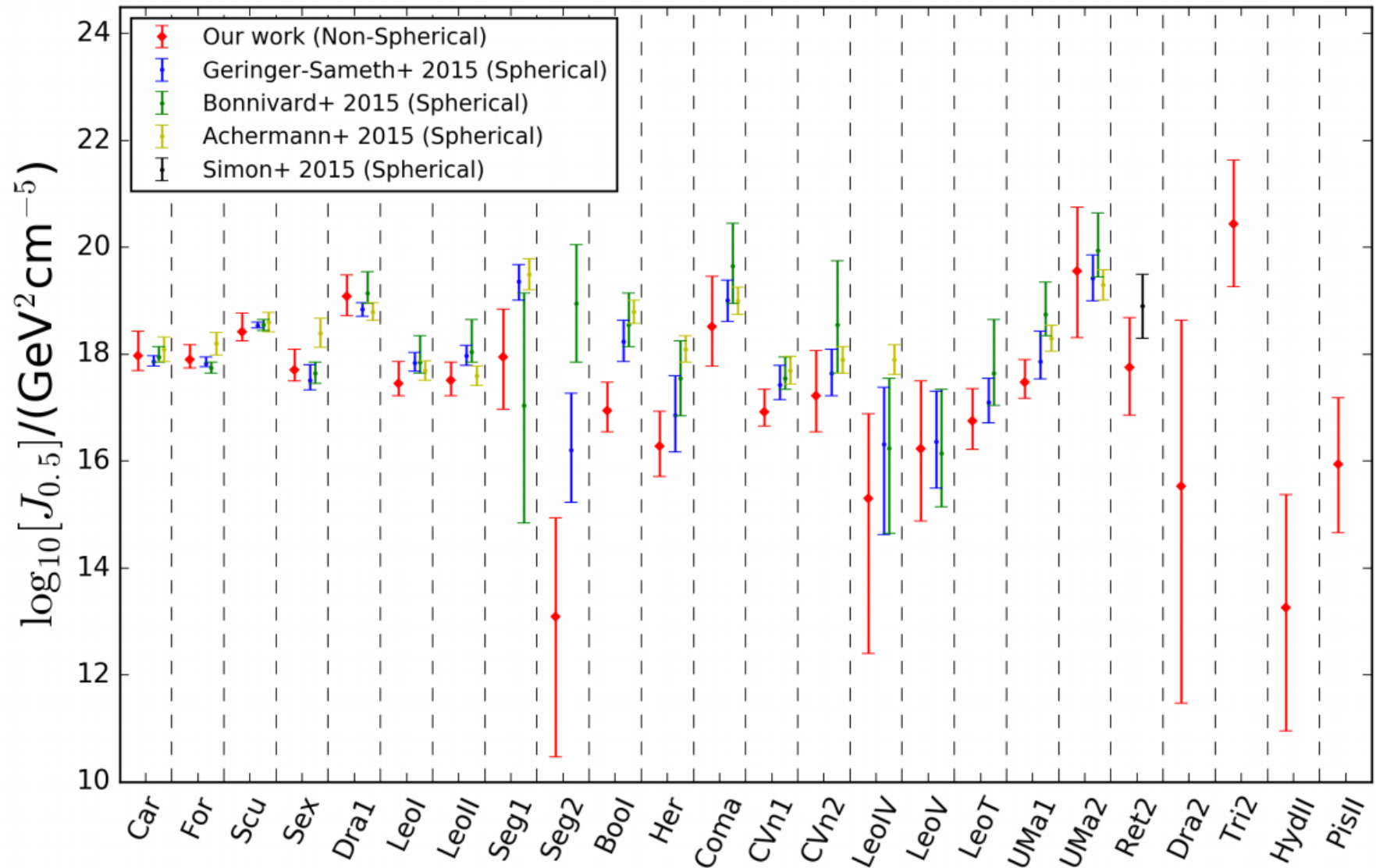
<https://svs.gsfc.nasa.gov/vis/a010000/a011300/a011342/>



dSphに着目

J-factor of dSph

Hayashi et al., 2016



dwarf spheroidal galaxy (dSph)

- ・天の川の衛星銀河
- ・質量光度比 $M/L \sim 10^3 M_\odot / L_\odot$
- ・角度広がり $\Delta\theta \lesssim \mathcal{O}(1) \text{ degree}$
- ・40個程度これまでに発見
- ・J-factor $J \sim 10^{16-19} \text{GeV}^2 \text{cm}^{-5}$
- ・ガソマ線源となる天体がない

DMが多くて天体の少ない理想的な系

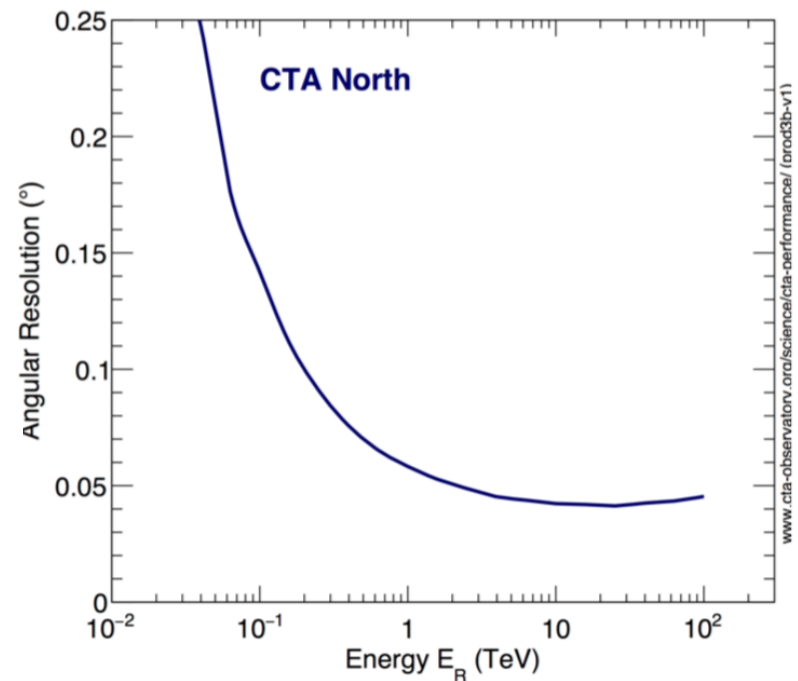
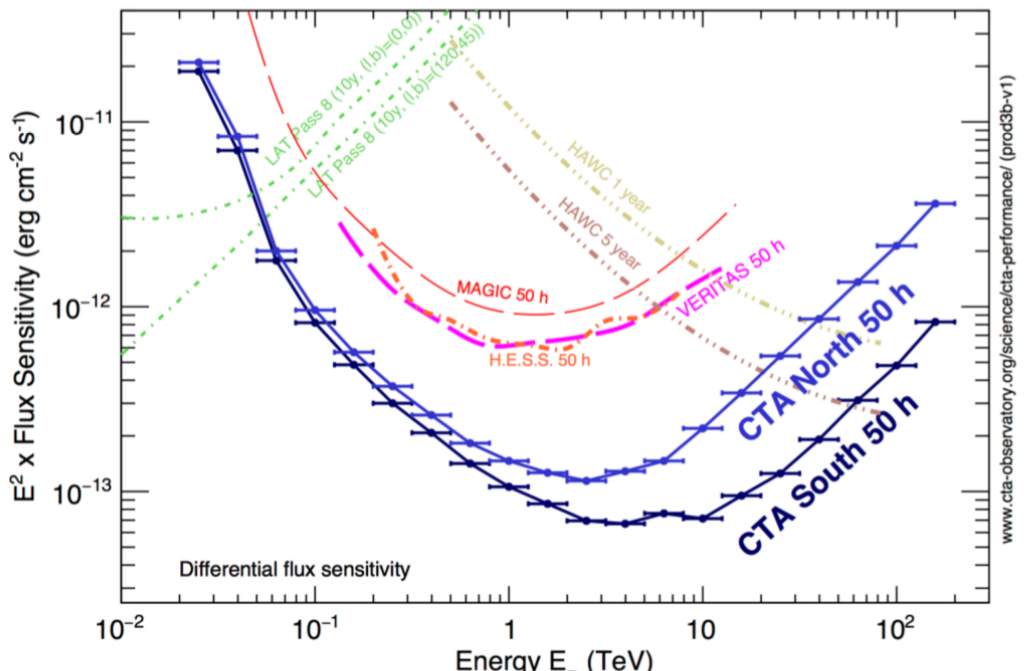
dSph with CTA

- TeV領域の感度up
- 角度分解能が良い



dSph内部での
DM分布が識別可能

dSphでのDM空間分布の
検出可能性への影響は？



Story

1.dSphのDM分布モデルを集める

Draco dSph [$J \sim \mathcal{O}(10^{19}) \text{GeV}^2 \text{cm}^{-5}$], 16モデル

2.CTAでの観測をシミュレーション

CTA North, full-array, 500h

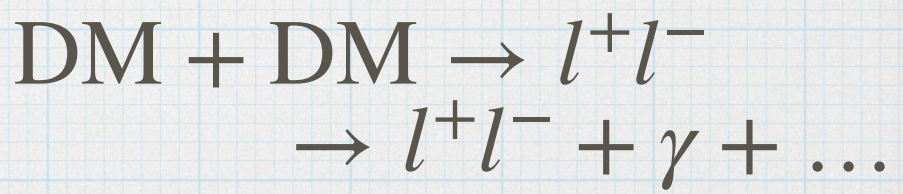
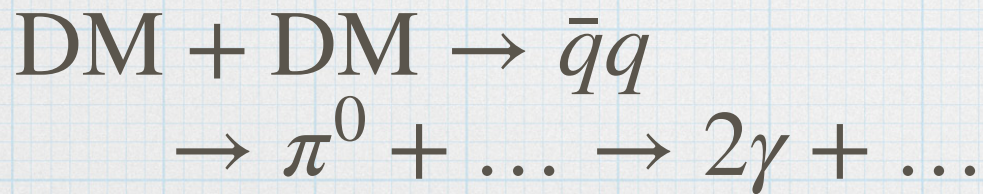
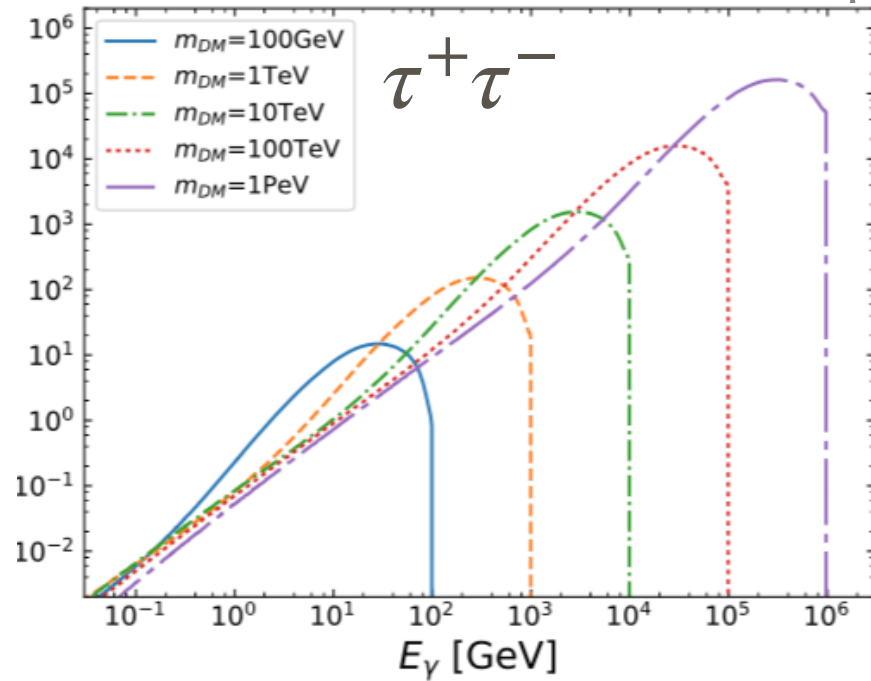
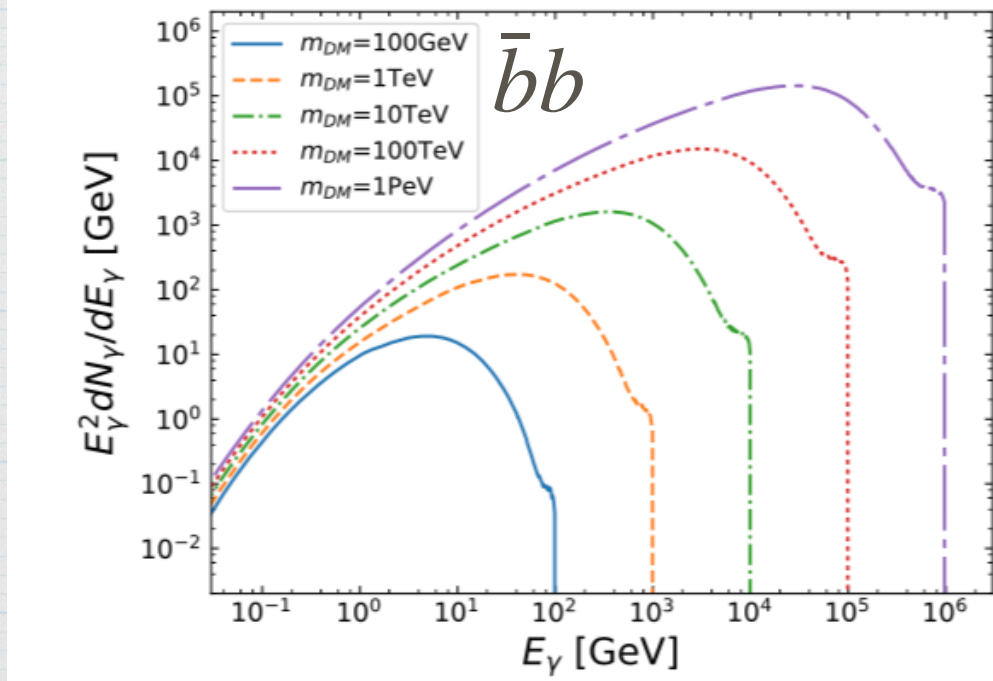
3.感度評価

DM空間分布(16)×対消滅スペクトル(3)

DM+DM
 $\rightarrow \bar{b}b$ or W^+W^- or $\tau^+\tau^-$

Flux from DM annihilation

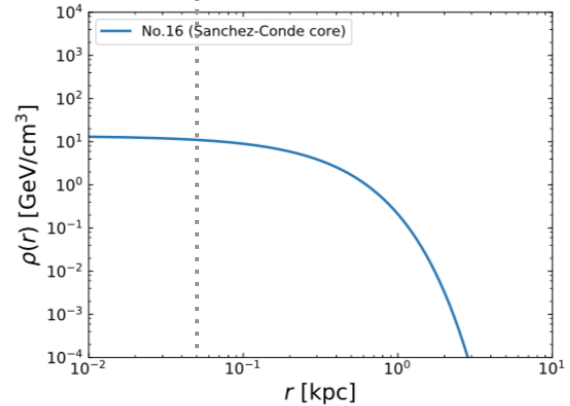
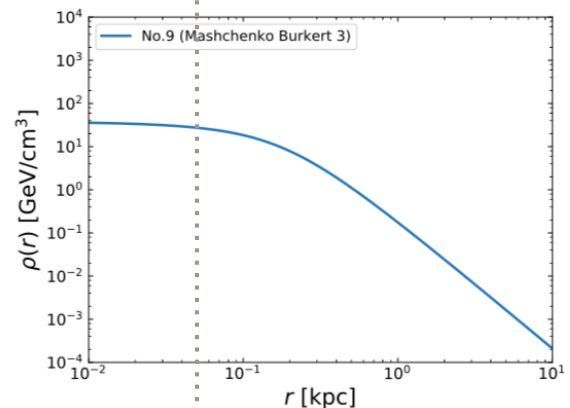
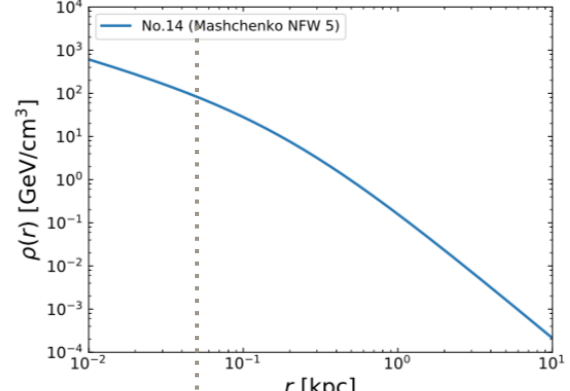
Hiroshima et al., in prep



density profiles

Hiroshima et al., in prep

No.	expression	type	$\log_{10} J_{<0.5^\circ}$ $\log [\text{GeV}^2 \text{cm}^{-5}]$
1	$\left(\frac{1.7 \text{GeV}}{\text{cm}^3}\right) \left(\frac{r}{0.79 \text{kpc}}\right)^{-1} \left(1 + \frac{r}{0.79 \text{kpc}}\right)^{-2}$	NFW	18.40
2	$\left(\frac{0.69 \text{GeV}}{\text{cm}^3}\right) \left(\frac{r}{3.7 \text{kpc}}\right)^{-0.71} \left(1 + \left(\frac{r}{3.7 \text{kpc}}\right)^{2.01}\right)^{-2.80}$	gNFW	19.00
3	$\left(\frac{16.3 \text{GeV}}{\text{cm}^3}\right) \left(1 + \frac{r}{0.67 \text{kpc}}\right)^{-3}$	g NFW	19.08
4	$\left(\frac{1.23 \text{GeV}}{\text{cm}^3}\right) \left(\frac{r}{1.30 \text{kpc}}\right)^{-1} \left(1 + \frac{r}{1.30 \text{kpc}}\right)^{-2}$	NFW	18.80
5	$\left(\frac{0.18 \text{GeV}}{\text{cm}^3}\right) \left(\frac{r}{1.99 \text{kpc}}\right)^{-1.5} \left(1 + \frac{r}{1.99 \text{kpc}}\right)^{-1.5}$	g NFW	18.88
6	$\left(\frac{5.9 \text{GeV}}{\text{cm}^3}\right) \left(\frac{r}{0.32 \text{kpc}}\right)^{-1} \exp\left[-\frac{r}{0.32 \text{kpc}}\right]$	PL + cutoff	18.53
7	$\left(\frac{4.76 \text{GeV}}{\text{cm}^3}\right) \left(1 + \frac{r}{1.41 \text{kpc}}\right)^{-1} \left(1 + \left(\frac{r}{1.41 \text{kpc}}\right)^2\right)^{-1}$	Burkert	19.08
8	$\left(\frac{13.4 \text{GeV}}{\text{cm}^3}\right) \left(1 + \frac{r}{0.35 \text{kpc}}\right)^{-1} \left(1 + \left(\frac{r}{0.35 \text{kpc}}\right)^2\right)^{-1}$	Burkert	18.65
9	$\left(\frac{37.8 \text{GeV}}{\text{cm}^3}\right) \left(1 + \frac{r}{0.18 \text{kpc}}\right)^{-1} \left(1 + \left(\frac{r}{0.18 \text{kpc}}\right)^2\right)^{-1}$	Burkert	18.69
10	$\left(\frac{0.60 \text{GeV}}{\text{cm}^3}\right) \left(\frac{r}{2.82 \text{kpc}}\right)^{-1} \left(1 + \frac{r}{2.82 \text{kpc}}\right)^{-2}$	NFW	18.95
11	$\left(\frac{1.70 \text{GeV}}{\text{cm}^3}\right) \left(\frac{r}{1.00 \text{kpc}}\right)^{-1} \left(1 + \frac{r}{1.00 \text{kpc}}\right)^{-2}$	NFW	18.67
12	$\left(\frac{4.76 \text{GeV}}{\text{cm}^3}\right) \left(\frac{r}{0.50 \text{kpc}}\right)^{-1} \left(1 + \frac{r}{0.50 \text{kpc}}\right)^{-2}$	NFW	18.70
13	$\left(\frac{13.4 \text{GeV}}{\text{cm}^3}\right) \left(\frac{r}{0.25 \text{kpc}}\right)^{-1} \left(1 + \frac{r}{0.25 \text{kpc}}\right)^{-2}$	NFW	18.70
14	$\left(\frac{37.8 \text{GeV}}{\text{cm}^3}\right) \left(\frac{r}{0.18 \text{kpc}}\right)^{-1} \left(1 + \frac{r}{0.18 \text{kpc}}\right)^{-2}$	NFW	19.15
15	$\left(\frac{0.95 \text{GeV}}{\text{cm}^3}\right) \left(\frac{r}{1.19 \text{kpc}}\right)^{-1} \exp\left[-\frac{r}{1.19 \text{kpc}}\right]$	PL + cutoff	18.58
16	$\left(\frac{12.7 \text{GeV}}{\text{cm}^3}\right) \exp\left[-\frac{r}{0.24 \text{kpc}}\right]$	PL + cutoff	18.56



Feasibility

Conclusion

Conclusion

- ・質量 $m_{\text{DM}} \gtrsim \mathcal{O}(1)$ TeV の WIMP DM 探査には
ガンマ線観測が有効
- ・矮小橢円銀河(dSph)はガンマ線天体がなく
DM の濃い魅力的な観測領域
- ・CTA では dSph 中の DM 分布が分解可能
- ・DM 分布の不定性を考慮して対消滅断面積は
 $\langle \sigma v \rangle = 10^{-23} - 10^{-24} \text{ cm}^3/\text{s}$ の範囲に制限できる
(あるいは DM 対消滅シグナルが見つけられる!)
- ・点源だと思って解析すると感度を過大評価する

観測領域の DM 分布の理解が最重要課題